

PLOCHA LIGAMENTU VÁLCE S CHEVRONOVÝM VRUBEM

AREA OF LIGAMENT OF CYLINDER WITH CHEVRON NOTCH

Petr Frantík¹

Abstrakt

V článku je odvozeno několik výrazů pro plochu ligamentu válce se symetrickým a nesymetrickým chevronovým vrubem. Jsou popsány dva přístupy a dva různé způsoby určení geometrie vrubu.

Klíčová slova

Chevronový vrub, Ligament.

Abstract

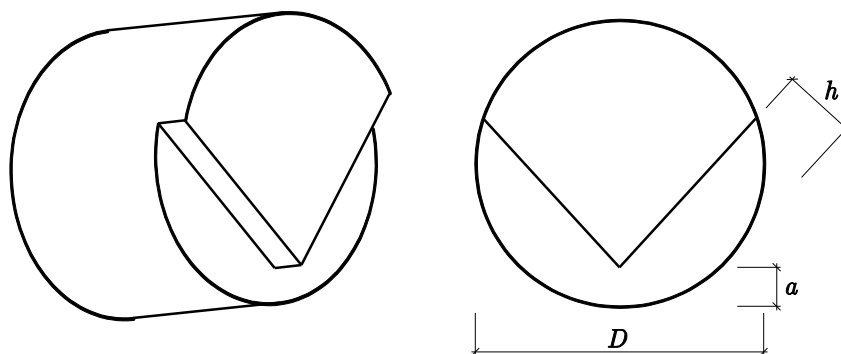
The contribution is focused on derivation of several relationships for area of ligament of a cylinder with symmetrical and unsymmetrical chevron notch. Two approaches are applied and two different specifications of the notch geometry are used.

Keywords

Chevron notch, Ligament.

1 Úvod

Příspěvek je věnován odvození výrazů pro plochu ligamentu válce opatřeného chevronovým zářezem, viz obr. 1, určeného průměrem válce D , největší hloubkou zářezu h a hloubkou zářezu v jeho vrcholu a . Takto upravený válec se užívá pro laboratorní stanovení lomových charakteristik materiálu nacházejícího se in situ, jehož vzorky se odebírají pomocí vývrtu, viz také [1].



Obr. 1: Válec opatřený chevronovým zářezem

¹ doc. Ing. Petr Frantík, Ph.D., Vysoké učení technické v Brně, Fakulta stavební, Ústav stavební mechaniky, Veveří 331/95, 602 00 Brno, e-mail: kitnarf@centrum.cz

Prezentované odvození bylo motivováno snahou ověřit výraz publikovaný v práci [2] a případně jej zjednodušit. Dále se ukázalo, že nový přístup k odvození umožňuje stanovit plochu ligamentu i pro nesymetrický chevronový zářez.

Dodejme, že zvolená definice geometrie zářezu má kritický bod $a = R$ při které se zvolené zadání stává neurčitým, jelikož nelze definovat úhel zářezu δ , viz dále.

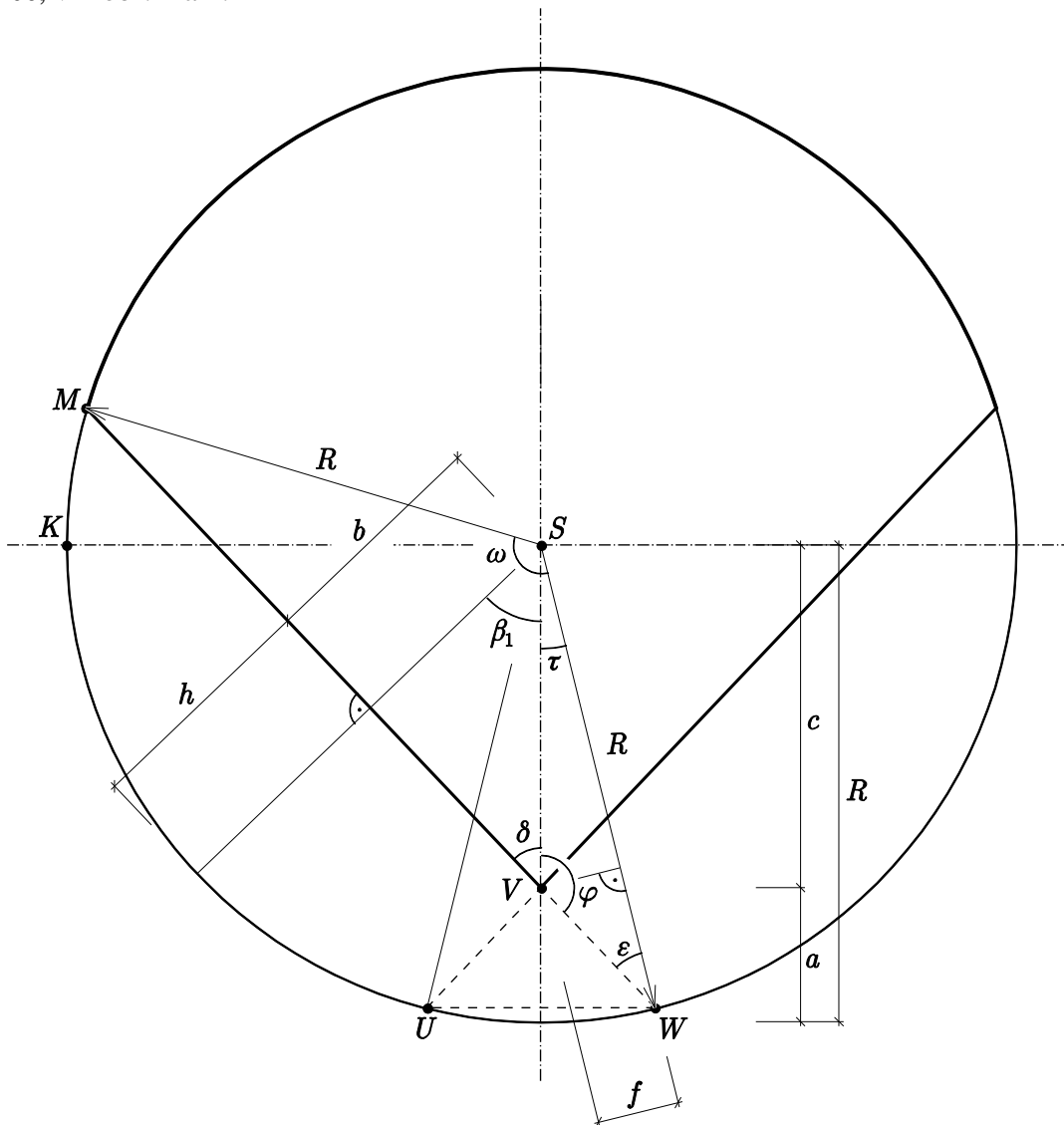
2 Publikovaný přístup

Výraz publikovaný v [1] je založen na odečtení plochy úsečí A_{SMW} vzniklých řezem na obou stranách válce od plochy řezu válcem. Tyto úseče se však po provedení řezů vzájemně překrývají a proto je třeba přičíst plochu překryvu A_{UWV} :

$$A = \pi R^2 - 2A_{SMW} + A_{UWV},$$

$$A_{SMW} = \frac{R^2(\omega - \sin \omega)}{2}, \quad \omega = 2 \cos^{-1} \left(1 - \frac{h}{R} \right), \quad (1)$$

kde úhel ω značí úhel úseče SMW , h je největší hloubka zářezu a $R = D/2$ je poloměr válce, viz obr. 1 a 2.



Obr. 2: Schéma symetrického chevronového zářezu

Plochu překryvu A_{UWV} stanovíme z plochy výseče WSU , od které odečteme dvojnásobek plochy trojúhelníku UVS resp. VWS :

$$\begin{aligned} A_{UWV} &= A_{WSU} - 2A_{UVS}, \\ A_{WSU} &= R^2 \tau, \quad A_{UVS} = \frac{Rf}{2}, \end{aligned} \quad (2)$$

kde úhel τ je polovinou úhlu výseče WSU a f je výška trojúhelníku VUS . Díky doplňkům úhlů pro úhel τ platí:

$$\begin{aligned} \tau &= \pi - \varphi - \varepsilon, \\ \varphi &= \pi - \delta, \quad \delta = \frac{\pi}{2} - \beta_1, \end{aligned} \quad (3)$$

přičemž δ je úhel zářezu a význam dalších úhlů β_1 , φ a ε je patrný z obrázku 2.

Úhel β_1 lze stanovit z pravoúhlého trojúhelníka:

$$\beta_1 = \cos^{-1}\left(\frac{b}{c}\right) = \cos^{-1}\left(\frac{R-h}{R-a}\right), \quad (4)$$

kde a je vzdálenost vrcholu zářezu V od povrchu válce (hloubka ve vrcholu zářezu), c je vzdálenost vrcholu V od středu válce a b je vzdálenost přímky řezu od středu válce S .

Úhel ε se stanoví ze sinové věty:

$$\varepsilon = \sin^{-1}\left(\frac{R-a}{R} \sin \varphi\right). \quad (5)$$

Zbývá vyjádřit výšku f trojúhelníka VWS :

$$f = c \sin \tau, \quad c = R - a. \quad (6)$$

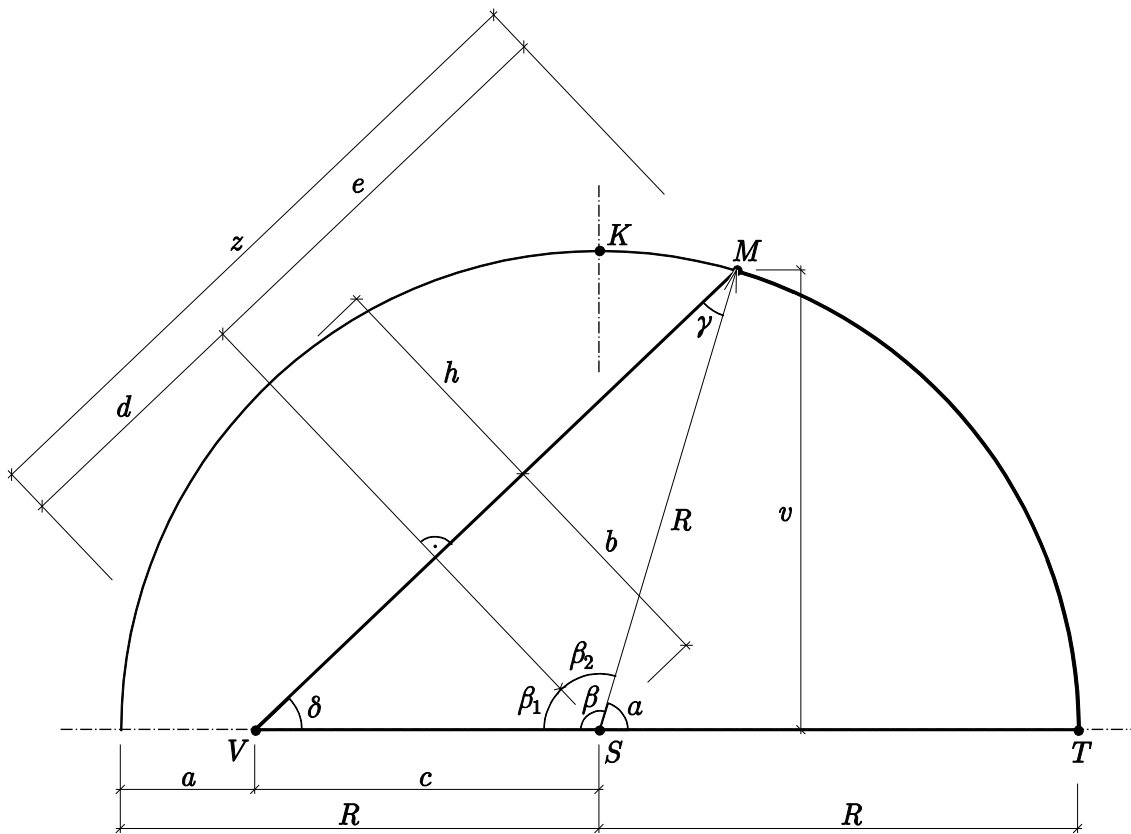
Výsledný výraz lze shrnout do tvaru:

$$\begin{aligned} A_1 &= R(R(\pi - \omega - \sin \omega + \tau) - (R - a) \sin \tau), \\ \omega &= 2 \cos^{-1}\left(1 - \frac{h}{R}\right), \quad \tau = \delta - \sin^{-1}\left(\frac{R-a}{R} \sin \delta\right), \\ \delta &= \frac{\pi}{2} - \cos^{-1}\left(\frac{R-h}{R-a}\right). \end{aligned} \quad (7)$$

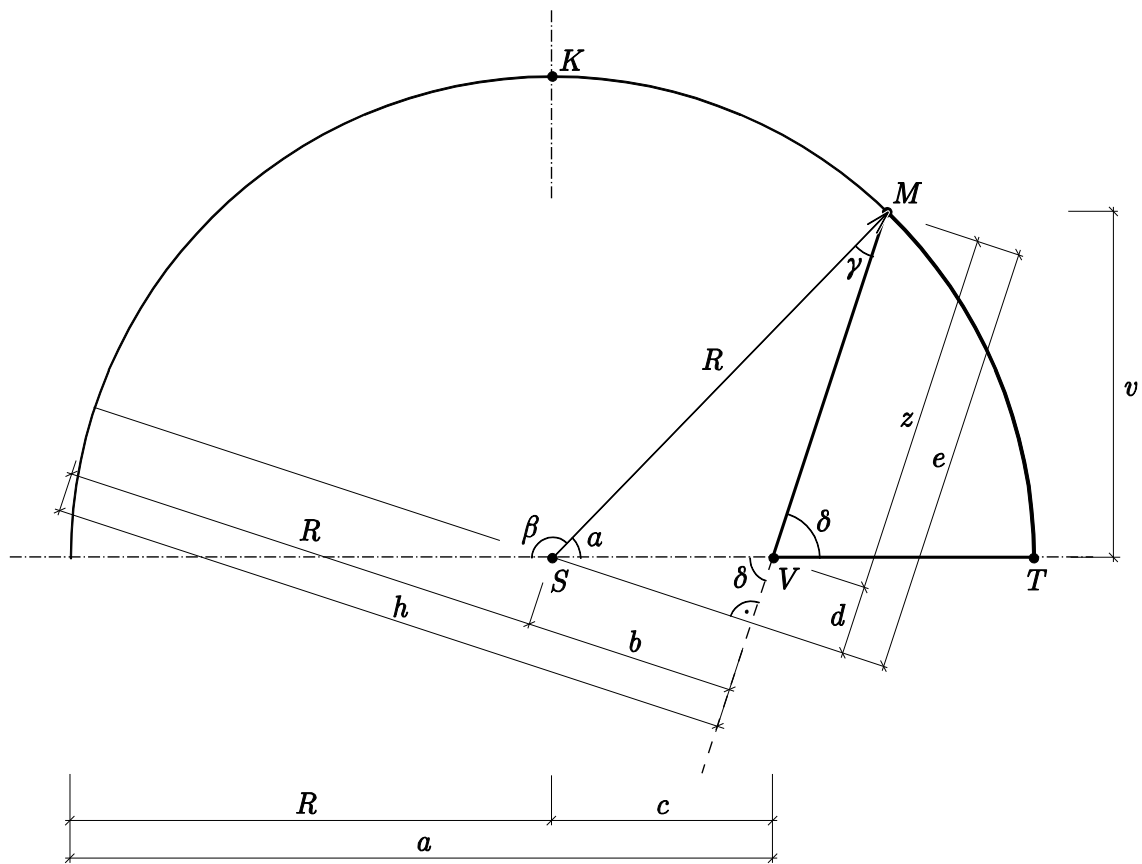
3 Alternativní přístup

Ověřovací přístup je založen na řešení plochy A_s jedné strany (u symetrického zářezu jedné poloviny) chevronového vrubu, která vznikne rozdělením válce přímkou procházející vrcholem zářezu V a středem válce S , viz obr. 3.

Z důvodu obecnosti řešení je však třeba říci, že dané schéma na obrázku 3 platí pro hloubku ve vrcholu zářezu a menší než je poloměr válce R , tj. $a < R$. Jak už bylo řečeno, dosažením kritické hodnoty $a = R$ se zvolené zadání stává neurčitým, jelikož nelze definovat úhel zářezu δ . Překročením tohoto kritického místa se dostáváme do oblasti kde platí $a > R$, viz obr. 4.



Obr. 3: Schéma jedné strany chevronového zářezu pro $a < R$



Obr. 4: Schéma jedné strany chevronového zářezu pro $a > R$

Plochu A_s stanovíme součtem respektive rozdílem plochy trojúhelníka VSM (obr. 3) a plochy výseče STM se středem S o poloměru R a úhlu α :

$$\begin{aligned} A_s &= A_{VSM} + A_{STM}, \\ A_{VSM} &= \frac{zb}{2}, \quad A_{STM} = \frac{\alpha R^2}{2}, \end{aligned} \quad (8)$$

kde z je základna trojúhelníka VSM , pro kterou platí:

$$\begin{aligned} z &= \begin{cases} e + d, & a < R, \\ e - d, & a > R, \end{cases} \\ d &= \sqrt{c^2 - b^2}, \quad e = \sqrt{R^2 - b^2}, \end{aligned} \quad (9)$$

kde d a e jsou délky odvěsen přilehlých pravoúhlých trojúhelníků.

Úhel α byl stanoven třemi různými způsoby. Tyto způsoby zásadně ovlivňují podobu výsledného výrazu, viz dále.

3.1 Kosinová věta

První způsob stanovení úhlu α spočívá ve výpočtu doplňkového úhlu β pomocí kosinové věty z trojúhelníku VSM pro $a < R$:

$$\begin{aligned} \alpha &= \pi - \beta, \\ \beta &= \cos^{-1} \left(\frac{R^2 + c^2 - z^2}{2Rc} \right), \end{aligned} \quad (10)$$

čímž obdržíme výraz, který poněkud překvapivě platí i pro $a > R$:

$$\begin{aligned} A_2 &= 2A_{s2} = z(R-h) + R^2 \cos^{-1} \left(\frac{z^2 - R^2 - (R-a)^2}{2R(R-a)} \right), \\ z &= \sqrt{(h-a)(2R-a-h)} + s\sqrt{h(2R-h)}, \quad s = \begin{cases} 1, & a < R, \\ -1, & a > R. \end{cases} \end{aligned} \quad (11)$$

3.2 Rozdělení úhlu β

Ve druhém způsobu, za podmínky $a < R$ se úhel α rovněž spočítá z doplňkového úhlu β . Ovšem úhel β se rozdělí na úhly β_1 a β_2 přilehlých pravoúhlých trojúhelníků, na které se trojúhelník VSM rozpadá, viz obr. 3:

$$\begin{aligned} \beta &= \beta_1 + \beta_2, \\ \cos \beta_1 &= \frac{b}{c}, \quad \cos \beta_2 = \frac{b}{R}. \end{aligned} \quad (12)$$

Úpravami obdržíme kompaktní výraz:

$$\begin{aligned} A_{3m} &= 2A_{s3m} = (R-h) \left(\sqrt{h(2R-h)} + \sqrt{(h-a)(2R-a-h)} \right) + \\ &+ R^2 \left(\pi - \cos^{-1} \left(\frac{R-h}{R-a} \right) - \cos^{-1} \left(\frac{R-h}{R} \right) \right), \quad a < R. \end{aligned} \quad (13)$$

Pro interval $a > R$ využijeme pro stanovení úhlu α obecného trojúhelníka VSM pro který platí:

$$\begin{aligned} \alpha &= \gamma - \delta, \\ \sin \lambda &= \frac{b}{R}, \quad \sin \delta = \frac{b}{c}, \end{aligned} \quad (14)$$

díky čemuž obdržíme po úpravách výraz:

$$A_{3h} = 2A_{s3h} = (R-h)\left(\sqrt{h(2R-h)} - \sqrt{(h-a)(2R-a-h)}\right) + R^2\left(\sin^{-1}\left(\frac{h-R}{a-R}\right) - \sin^{-1}\left(\frac{h-R}{R}\right)\right), \quad a > R. \quad (15)$$

3.3 Stanovení výšky v

Třetí způsob vypočítá úhel α z pravoúhlého trojúhelníku s přeponou VM o výšce v , pro kterou platí (viz obr. 3):

$$\frac{v}{z} = \sin \delta = \frac{b}{c} \Rightarrow v = \frac{bz}{c}. \quad (16)$$

Pro úhel α pak dle obr. 3 v intervalu $a < R$ platí:

$$\sin \alpha = \frac{v}{R} = \frac{bz}{Rc}. \quad (17)$$

Tento výraz ovšem platí pouze v případě, že se bod M nachází vpravo od bodu K . V okamžiku, kdy se tyto body ztotožní, dochází ke změně kvadrantu úhlu α . Proto zde existují vzájemně závislé kritické hodnoty hloubek zářezu a_{cr} a h_{cr} . Odvodit je lze z pravoúhlého trojúhelníka VSK , pro který platí:

$$\operatorname{tg} \delta = \frac{\sin \delta}{\cos \delta} = \frac{R}{c}, \quad \sin \delta = \frac{b}{c}, \quad \cos \delta = \frac{d}{c} \Rightarrow \frac{b}{d} = \frac{R}{c}. \quad (18)$$

Z této kvadratické rovnice odvodíme reálné kořeny:

$$a_{cr} = R\left(1 - \frac{R-h}{h(2R-h)}\sqrt{h(2R-h)}\right), \quad (19)$$

$$h_{cr} = R\left(\frac{2R^2 - a(2R-a) - (R-a)\sqrt{R^2 + (R-a)^2}}{R^2 + (R-a)^2}\right),$$

díky kterým lze změnu kvadrantu zohlednit ve výsledném výrazu (uvedeno pro h_{cr}):

$$A_4 = 2A_{s4} = z(R-h) + R^2 \begin{cases} \pi - \sin^{-1}\left(\frac{z(R-h)}{R(R-a)}\right), & h \leq h_{cr} \wedge a < R, \\ \sin^{-1}\left(\frac{z(R-h)}{R(R-a)}\right), & \text{jinak.} \end{cases} \quad (20)$$

4 Platnost řešení

Výše popsaná řešení existují za následujících podmínek:

je-li $a < R$, pak $a \leq h \leq R$,

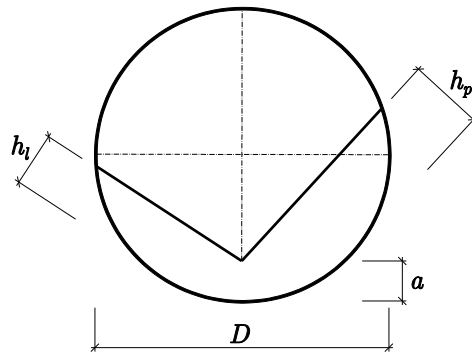
je-li $a > R$, pak $R \leq h \leq a$, (21)

$0 \leq a \leq D \wedge a \neq R$.

Tedy maximální hloubka zářezu h nemůže být menší než hloubka zářezu v jeho vrcholu a , pokud je zářez mělký ($a < R$) a zároveň nemůže být větší než poloměr válce R . V případě hlubokého zářezu ($a > R$) je situace opačná. Tj. hloubka h nemůže být menší než poloměr válce R a nemůže být větší než hloubka zářezu ve vrcholu a .

5 Nesymetrický chevronový vrub

Alternativní řešení A_2 až A_4 je možno použít pro nesymetrický chevronový zářez daný průměrem D , největšími hloubkami zářezu h_p a h_l , tj. pravé resp. levé strany, viz obr. 5, a hloubkou zářezu ve vrcholu a .



Obr. 5: Nesymetrický chevronový zářez

Například druhé popsané řešení (11) dává přehledný výraz:

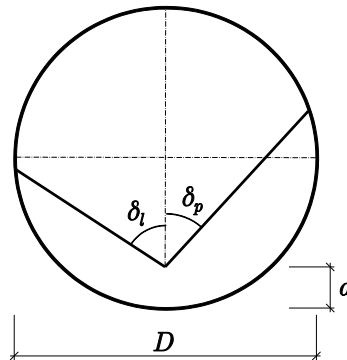
$$A_{\text{nesym2}} = A_{s2,l} + A_{s2,p},$$

$$A_{s2,i} = \frac{1}{2} \left(z_i (R - h_i) + R^2 \cos^{-1} \left(\frac{z_i^2 - R^2 - (R - a)^2}{2R(R - a)} \right) \right), \quad i = l, p, \quad (22)$$

$$z_i = \sqrt{(h_i - a)(2R - a - h_i)} + s \sqrt{h_i(2R - h_i)}, \quad s = \begin{cases} 1, & a < R, \\ -1, & a > R. \end{cases}$$

6 Zobecněný chevronový vrub daný úhly δ_l a δ_p

V úvodu příspěvku bylo ukázáno, že zvolený způsob zadání geometrie obsahuje bod $a = R$, kdy nelze určit geometrii vrubu, jelikož pro libovolný úhel δ musí platit $h = a$. Změňme tedy definici úlohy tak, aby tuto nedokonalost neobsahovala zadáním dvojice úhlů zářezu δ , viz obr. 6. Dodejme, že toto zadání tak zároveň umožní vznik obráceného chevronového vrubu.



Obr. 6: Nesymetrický chevronový zářez daný úhlem δ

Díky relacím (viz obr. 3):

$$b_i = c \sin \delta_i, \quad \sin \gamma_i = \frac{b_i}{R}, \quad d_i = c \cos \delta_i, \quad e_i = \sqrt{R^2 - b_i^2}, \quad (23)$$

sestavíme dosazením do (8) výraz:

$$\begin{aligned}
 A_{\text{gen}} &= A_{\text{sgen},l} + A_{\text{sgen},p}, \\
 A_{\text{sgen},i} &= \frac{1}{2} \left((R-a) \sin \delta_i \left((R-a) \cos \delta_i + \sqrt{R^2 - (R-a)^2 \sin^2 \delta_i} \right) + \right. \\
 &\quad \left. + R^2 \left(\delta_i + \sin^{-1} \left(\frac{(R-a)}{R} \sin \delta_i \right) \right) \right), \quad i = l, p, \\
 0 &\leq a \leq D \wedge 0 \leq \delta_i \leq \pi.
 \end{aligned} \tag{24}$$

7 Závěr

V článku bylo postupně odvozeno celkem šest řešení plochy ligamentu válce s chevronovým vrubem. Ověřované první řešení vycházející z postupu publikovaného v práci [1] je doplněno výrazy získanými alternativním postupem založeným na řešení jedné strany ligamentu.

Poslední dvě řešení se týkají nesymetrického vrubu, přičemž šesté řešení rovněž umožňuje stanovení plochy obráceného chevronu.

Dodejme, že v důsledku způsobu zadání geometrie a výpočtu plochy kruhové výseče se není možné vyhnout inverzním goniometrickým funkcím ve výsledných vztazích.

Poděkování

Tento příspěvek vznikl za finanční podpory projektu LO1408 AdMaS UP – Pokročilé materiály, konstrukce a technologie, podporovaného Ministerstvem školství, mládeže a tělovýchovy České republiky v rámci Národního programu udržitelnosti I.

Literatura

- [1] VAVRO, L. *Lomová houževnatost hornin a její zjišťování pro geomechanické hodnocení hornin a horninového masivu*, dizertační práce, VŠB-TU Ostrava, 2014.
- [2] KUBEŠ, P. *Pokročilé vyhodnocení lomových testů vybraných horninových těles*, bakalářská práce, VUT FAST v Brně, 2016.